

# Теорема о 4-красках, шестимерные многообразия и комбинаторика фуллеренов

В. М. Бухштабер

МИАН имени В. А. Стеклова,  
МГУ имени М. В. Ломоносова,  
ИППИ имени А. А. Харкевича

XVI Летняя школа «Современная математика»  
Ратмино, июль 2016 г.

- 1 Проблема 4-красок. Постановка проблемы, её история и результаты.
- 2 Конструкция, сопоставляющая гладкое шестимерное многообразие  $M(P)$  каждому простому трёхмерному многограннику  $P$ , грани которого раскрашены в 4 цвета.
- 3 Проблема классификации односвязных гладких шестимерных многообразий с точностью до диффеоморфизма.
- 4 **Фуллерены** — широкий специальный класс простых трёхмерных многогранников, результаты о комбинаторике которых имеют нетривиальные приложения в квантовой химии, квантовой физике и нанотехнологиях.
- 5 **Теорема.** Два фуллерена  $P_1$  и  $P_2$  комбинаторно эквивалентны тогда и только тогда, когда существует диффеоморфизм многообразий  $M(P_1)$  и  $M(P_2)$ .

- V. M. Buchstaber, T. E. Panov, *Toric Topology*, Mathematical Surveys and Monographs, v. 204, Amer. Math. Soc., Providence, RI, 2015; 518 pp.
- С. П. Новиков, И. А. Тайманов, *Современные геометрические структуры и поля.*, МЦНМО, Москва, 2005, 580 стр.
- Г. М. Циглер, *Теория многогранников.*, Перевод с английского под редакцией Н.П.Долбилина, МЦНМО, Москва, 2014, 419 стр.
- В. М. Бухштабер, Н. Ю. Ероховец, Т. Е. Панов *Алгебра и комбинаторика выпуклых многогранников.*, Приложение к книге Г.Циглера “Теория многогранников”, МЦНМО, Москва, 2014, 420–518, 553–556.

- Э. Э. Лорд, Ф. Л. Маккей, С. Ранганатан, *Новая геометрия для новых материалов*, пер. с англ. Л. П. Мезенцевой под ред. В. Я. Шевченко, В. Е. Дмитриенко, М., Физматлит, 2010, 264 с.
- Е. А. Кац, *Фуллерены, углеродные нанотрубки и нанокластеры*, М., ЛИБРОКОМ, 2014. 296 с.

- 1 Теорема о четырех красках.
- 2 Трехмерные выпуклые многогранники.
- 3 Двойственность Гейла.
- 4 Момент-угол многообразия.
- 5 Квазиторические многообразия.
- 6 Приложение теоремы о четырех красках.
- 7 Фуллерены.

# Правильная раскраска карты

- **Картой** области на плоскости будем называть разбиение области на подобласти, каждая из которых имеет ненулевую площадь.
- Раскраска карты называется **правильной**, если любые две области, имеющие границу ненулевой длины, раскрашены в разные цвета.



**Картой на двумерной сфере** будем называть разбиение ее поверхности на области, каждая из которых имеет ненулевую площадь.

Решение проблемы правильной раскраски любой области на плоскости в  $k$  цветов дает решение аналогичной проблемы на двумерной сфере.

## Задача

Дана карта на сфере. Найдите условие, при котором ее можно правильно раскрасить в **три** цвета.



## Задача\*

Докажите, что любую карту на сфере можно правильно раскрасить в **пять** цветов.

## Теорема

Любую карту на плоскости можно правильно раскрасить в четыре цвета.

## Следствие

Любую карту на двумерной сфере можно правильно раскрасить в четыре цвета.

Теорема о четырех красках была впервые сформулирована 23 октября 1852 года математиком и ботаником Франциском Гутри (Francis Guthrie), который заметил, что ему удалось раскрасить карту графств Англии только **в четыре цвета** так, что никакие два графства, имеющие общий отрезок границы, не были раскрашены в один цвет.



Проблема четырех красок получила широкое признание в 1878 году, когда знаменитый английский математик Артур Кейли (Arthur Cayley) выступил на заседании Лондонского математического общества с докладом, в котором он заявил, что ему не удалось ее решить.

В 1976 году математики Кеннет Аппель (Kenneth Appel) и Вольфганг Хакен (Wolfgang Haken) доказали теорему о четырех красках.

Это была первая крупная проблема в математике, доказательство которой существенно использовало компьютер. На первом шаге авторы, используя логические рассуждения, доказали, что теорема верна для всех карт, если она верна для конкретного конечного набора карт.

Набор включал в себя 1936 случая! Для раскраски этого набора карт и был использован компьютер.

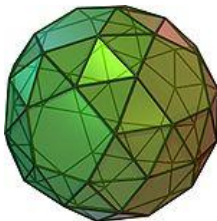
Часть информации и иллюстрации на этих слайдах взяты с сайта Математических Этюдов:  
<http://www.etudes.ru/ru/sketches/#iarea>.

# Трёхмерные выпуклые многогранники

**Выпуклым трёхмерным многогранником** называется ограниченное множество вида

$$P = \{x \in \mathbb{R}^3 : a_i x + b_i \geq 0, i = 1, \dots, m\}$$

Будем считать, что такое описание **неприводимо**, т. е. удаление любого неравенства изменяет множество  $P$ . В этом случае каждая гиперплоскость  $\mathcal{H}_i = \{x \in \mathbb{R}^3 : a_i x + b_i = 0\}$  определяет двумерную **грань**  $F_i = P \cap \mathcal{H}_i$ .



Мы будем отождествлять **комбинаторно эквивалентные** многогранники.

## Формула Эйлера

Пусть  $f_0$  — число вершин,  $f_1$  — число рёбер и  $f_2$  — число двумерных граней трёхмерного многогранника. Тогда имеет место **формула Эйлера** (1707–1783)

$$f_0 - f_1 + f_2 = 2$$

## Задача

Доказать формулу Эйлера, используя **формулу включения-исключения**:

$$\chi(W_1 \cup W_2) = \chi(W_1) + \chi(W_2) - \chi(W_1 \cap W_2),$$

где  $\chi(W) = f_0(W) - f_1(W) + f_2(W)$ .

## Теорема (Штейниц, 1906 г.)

Целочисленный вектор  $(f_0, f_1, f_2)$  является вектором граней **трехмерного** многогранника тогда и только тогда, когда

$$f_0 - f_1 + f_2 = 2, \quad f_2 \leq 2f_0 - 4, \quad f_0 \leq 2f_2 - 4$$

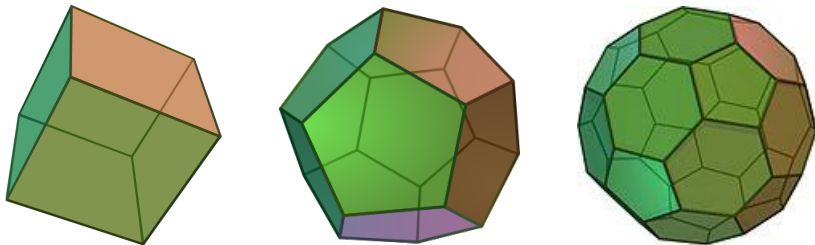
## Следствие

$$f_2 + 4 \leq 2f_0 \leq 4f_2 - 8$$

Для многогранников **размерности 4** до сих пор **неизвестны** условия, характеризующие вектор  $(f_0, f_1, f_2, f_3)$  его граней.

## Определение

Трёхмерный многогранник называется **простым**, если каждая его вершина простая, то есть в ней сходится ровно три ребра.



Из 5 Платоновых тел 3 простых.

Из 13 Архимедовых тел 7 простых.

# Следствия формулы Эйлера для простых мн-ков

Пусть  $p_k$  — число  $k$ -угольных граней многогранника.

## Следствие формулы Эйлера

Для любого **простого** многогранника  $P$  выполняется **соотношение между числами  $k$ -угольников**

$$3p_3 + 2p_4 + p_5 = 12 + \sum_{k \geq 7} (k-6)p_k$$

## Следствие

Если  $p_k = 0$  для  $k \neq 5, 6$ , то  $p_5 = 12$ .

**Не существует** простого многогранника только с шестиугольными гранями.

$$f_0 = 2\left(\sum_k p_k - 2\right) \quad f_1 = 3\left(\sum_k p_k - 2\right) \quad f_2 = \sum_k p_k \implies f_0 = 2(f_2 - 2)$$

# Диаграммы Шлегеля (Виктор Шлегель, 1843–1905)

## Определение

**Диаграммой Шлегеля** (1886) выпуклого трёхмерного многогранника  $P$  называется его **проекция** на плоскость выбранной двумерной грани из точки вне многогранника, близкой к этой грани. Диаграмма зависит от выбора грани.

- Диаграмма Шлегеля представляет собой разбиение выбранной грани на многоугольники.
- Граф рёбер на диаграмме является **полным комбинаторным инвариантом** многогранника  $P$ .

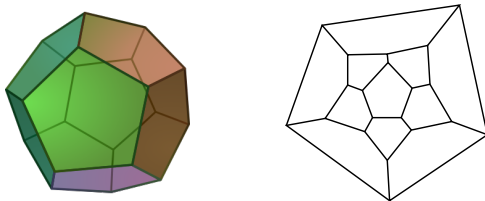


Диаграмма Шлегеля додекаэдра

Набор векторов в  $\mathbb{R}^n$  имеет **ранг**  $r$ , если порожденное ими линейное подпространство имеет размерность  $r$ .

## Определение

Пусть  $\mathcal{A} = \{a_1, \dots, a_m\} \subset \mathbb{R}^3$  набор ранга 3 и  $\mathcal{G} = \{\gamma_1, \dots, \gamma_m\} \subset \mathbb{R}^{m-3}$  набор ранга  $m - 3$ . Запишем набор  $\mathcal{A}$  в виде  $(3 \times m)$ -матрицы  $A$  и набор  $\mathcal{G}$  в виде  $((m - 3) \times m)$ -матрицы  $G$ .

Наборы  $\mathcal{A}$  и  $\mathcal{G}$  называются **двойственными по Гейлу**, если  $GA^T = 0$ .

## Пример

Наборы  $\mathcal{A} = \{e_1, e_2, e_3, -(e_1 + e_2 + e_3)\} \subset \mathbb{R}^3$  и  $\mathcal{G} = \{1, 1, 1, 1\} \subset \mathbb{R}^1$  двойственные по Гейлу, где  $e_1, e_2, e_3$  – вектора стандартного базиса.

## Задача

Пусть  $\mathcal{A}$  и  $\mathcal{G}$  наборы, двойственные по Гейлу. Описать, с какой точностью матрицы  $A$  и  $\Gamma$  определяют друг друга.

Рассмотрим многогранник

$$P = \{x \in \mathbb{R}^3 : a_i x + b_i \geq 0, i = 1, \dots, m\}.$$

Выберем набор  $\mathcal{G} = \{\gamma_1, \dots, \gamma_m\} \subset \mathbb{R}^{m-3}$ , двойственный по Гейлу набору  $\mathcal{A} = \{a_1, \dots, a_m\} \subset \mathbb{R}^3$  и положим

$$\mathcal{Z}_P = \{z \in \mathbb{C}^m : \sum_{k=1}^m \gamma_{jk} |z_k|^2 = \delta_j, j = 1, \dots, m-3\}$$

где  $\delta = \Gamma b$ .

Пересечение эрмитовых квадратиков  $\mathcal{Z}_P \subset \mathbb{C}^m$  эквивариантно относительно стандартного действия на  $\mathbb{C}^m$  стандартного тора

$$\mathbb{T}^m = \{z \in \mathbb{C}^m : |z_k|^2 = 1, k = 1, \dots, m\}.$$

$$P = \{x \in \mathbb{R}^3 : a_i x + b_i \geq 0, i = 1, \dots, m\};$$

$$\mathcal{Z}_P = \{z \in \mathbb{C}^m : \sum_{k=1}^m \gamma_{jk} |z_k|^2 = \delta_j, j = 1, \dots, m-3\}.$$

## Теорема

$\mathcal{Z}_P / \mathbb{T}^m = P$ . Эквивариантное вложение  $\mathcal{Z}_P \subset \mathbb{C}^m$  задает вложение

$$j_P : P \subset \mathbb{R}_{\geq}^m; j_P(x) = (y_1, \dots, y_m),$$

где  $y_i = a_i x + b_i$ .

**Момент-угол многообразием** простого многогранника  $P \subset \mathbb{R}^3$  будем называть многообразие  $\mathcal{Z}_P$ .

## Теорема

Следующие условия эквивалентны:

- 1 Многогранник  $P$  является простым.
- 2 Пересечение квадратик  $\mathcal{Z}_P$  является гладким многообразием размерности  $m + 3$ .
- 3 Вложение  $\mathcal{Z}_P \subset \mathbb{C}^m$  имеет  $\mathbb{T}^m$ -эквивариантное тривиальное нормальное расслоение,  $\mathbb{T}^m$ -оснащение которого задается матрицей  $\Gamma$ .

## Теорема

Представление простого многогранника

$$P = \{x \in \mathbb{R}^3 : a_i x + b_i \geq 0, i = 1, \dots, m\}$$

задает момент-угол многообразиие

$$\mathcal{Z}_P = \{z \in \mathbb{C}^m : \sum_{k=1}^m \gamma_{jk} |z_k|^2 = \delta_j, j = 1, \dots, m-3\}$$

однозначно с точностью до линейного изоморфизма пространства  $\mathbb{R}^n$ , где набор  $\mathcal{G} = \{\gamma_j\}$  является двойственным по Гейлу набору  $\mathcal{A} = \{a_j\}$ .

Пересечение квадрик  $\mathcal{Z}_P$  задает представление простого многогранника  $P$  однозначно с точностью до линейного изоморфизма пространства  $\mathbb{R}^3$ .

- 1 Проекция  $\pi_Z: \mathcal{Z}_P \rightarrow P = \mathcal{Z}_P/\mathbb{T}^m$  обладает каноническим сечением

$$s_Z: P \rightarrow \mathcal{Z}_P \subset \mathbb{C}^m, s_Z(x) = (z_1, \dots, z_m),$$

где  $z_k = \sqrt{a_k x + b_k}$ .

- 2 Отображение

$$f_Z: P \times \mathbb{T}^m \rightarrow \mathcal{Z}_P : f_Z(x, t) = t s_Z(x)$$

является эквивариантным и разлагается в композицию с гомеоморфизмом

$$P \times \mathbb{T}^m / \sim \rightarrow \mathcal{Z}_P,$$

где  $(x_1, t_1) \sim (x_2, t_2) \Leftrightarrow x_1 = x_2 = x$  и  $t_1 s_Z(x) = t_2 s_Z(x)$ .

В случае

$$P = \Delta^3 = \{x \in \mathbb{R}^3; x_i \geq 0, i = 1, 2, 3, -(x_1 + x_2 + x_3) + 1 \geq 0\}$$

мы получаем:

$$\mathcal{Z}_P = \{z \in \mathbb{C}^4 : \sum_{k=1}^4 |z_k|^2 = 1\} = S^7.$$

## Задача

Описать гомеоморфизм  $\Delta^3 \times \mathbb{T}^4 / \sim \rightarrow S^7$ .

## Задача

Для любого простого трехмерного многогранника  $P$  диагональная окружность  $S^1 = \{(z, \dots, z) \in \mathbb{T}^m\}$  действует свободно на многообразии  $\mathcal{Z}_P$ .

## Следствие

Имеет место гладкое многообразие  $P\mathcal{Z}_P \subset \mathbb{C}P^{m-1}$ .

## Задача

Доказать, что для любого простого трехмерного многогранника  $P$  существует каноническое гладкое многообразие  $W_P$  такое, что  $\partial W_P = \mathcal{Z}_P$ .

Рассмотрим куб

$$I^3 = \{x \in \mathbb{R}^3; x_i \geq 0, -x_i + 1 \geq 0, i = 1, 2, 3\}.$$

Задача

Описать многообразие  $\mathcal{Z}_{I^3} \subset \mathbb{C}^6$ .

Задача

Описать гомеоморфизм  $I^3 \times \mathbb{T}^6 / \sim \rightarrow \mathcal{Z}_{I^3}$ .

Комбинаторные квазиторические данные  $(P, \Lambda)$  состоят из:

- ориентированного простого многогранника  $P$ ;
- целочисленной  $(3 \times m)$ -матрицы  $\Lambda$ , определяющей так называемое **характеристическое отображение**

$$\ell: \{F_1, \dots, F_m\} \rightarrow \mathbb{Z}^3$$

такое, что для каждой вершины  $v = F_{i_1} \cap F_{i_2} \cap F_{i_3}$  столбцы

$$\lambda_{i_1} = \ell(F_{i_1}), \lambda_{i_2} = \ell(F_{i_2}), \lambda_{i_3} = \ell(F_{i_3})$$

матрицы  $\Lambda$  образуют базис группы  $\mathbb{Z}^3 \subset \mathbb{R}^3$ .

# Квазиторические многообразия

Пусть дано характеристическое отображение

$$\ell: \{F_1, \dots, F_m\} \rightarrow \mathbb{Z}^3.$$

Без ограничения общности можно считать что

$$F_1 \cap F_2 \cap F_3 \neq \emptyset, \Lambda = (I_3, \Lambda_*),$$

где  $I_3$  — единичная матрица. Тогда матрица  $S = (-\Lambda, I_{m-3})$  задает  $(m-3)$ -мерную подгруппу

$$K(\Lambda) = \{(e^{2\pi i \psi_1}, \dots, e^{2\pi i \psi_m}) \in \mathbb{T}^m\}, \quad i = \sqrt{-1},$$

где

$$\psi_k = - \sum_{j=4}^m \lambda_{k,j} \varphi_j, \quad k = 1, 2, 3, \quad \psi_{3+k} = \varphi_k, \quad k = 1, \dots, m-3.$$

## Лемма

Группа  $K(\Lambda)$  действует свободно на  $(m + 3)$ -мерном многообразии  $\mathcal{Z}_P$ .

## Определение

**Квазиторическим многообразием**  $M = M(P, \Lambda)$  будем называть пространство орбит  $\mathcal{Z}_P/K(\Lambda)$ .

Это  $b$ -мерное гладкое многообразие с гладким действием 3-мерного тора  $T^3 = \mathbb{T}^m/K(\Lambda)$ .

## Задача

Описать матрицы  $\Lambda_{\Delta^3}$  и  $\Lambda_{I^3}$ , задающие характеристические отображения для симплекса  $\Delta^3$  и куба  $I^3$ .

## Задача

Описать квазиторические многообразия  $M(P, \Lambda_P)$  для  $P = \Delta^3$  и  $I^3$ .

Имеет место последовательность отображений

$$\pi = \pi_2 \cdot \pi_1: \mathcal{Z}_P \rightarrow M(P, \Lambda) \rightarrow P,$$

где  $\pi_1$  является эквивариантным относительно проекции  $\mathbb{T}^m \rightarrow T^3$ . Проекция  $\pi_2$  обладает сечением  $s_2 = \pi_1 s_{\mathcal{Z}}$ .

## Следствие

Имеет место непрерывное  $T^3$ -эквивариантное отображение

$$f_2: P \times T^3 \rightarrow M(P, \Lambda) : f_2(x, t) = t s_2(x),$$

которое задает гомеоморфизм

$$P \times T^3 / \sim \rightarrow M(P, \Lambda),$$

где  $(x_1, t_1) \sim (x_2, t_2) \Leftrightarrow x_1 = x_2 = x$  и  $t_1 s_2(x) = t_2 s_2(x)$ .

Пусть  $P$  — некоторый простой трехмерный многогранник. Граница  $\partial P$  гомеоморфна сфере  $S^2$  разбитой на многогранники  $F_1, \dots, F_m$ , т.е. задает карту.

Из условия простоты многогранника следует, что если  $F_i \cap F_j \neq \emptyset$ , то  $F_i \cap F_j$  является ребром. Следовательно, при любой правильной раскраске карты  $\partial P$  и любой вершины  $v_k = F_{i_1} \cap F_{i_2} \cap F_{i_3}$  грани  $F_{i_1}, F_{i_2}, F_{i_3}$  раскрашены в различные цвета.

# Приложение теоремы о четырех красках

Согласно теореме о четырех красках, существует правильная раскраска карты  $\partial P$ , т.е. функция

$$\varphi: \{F_1, \dots, F_m\} \rightarrow \{1, 2, 3, 4\}.$$

Возьмем набор  $E = \{e_k \mid k = 1, \dots, 4\}$  векторов, где  $e_k$  при  $k = 1, 2, 3$  представляет собой стандартный вектор решетки  $\mathbb{Z}^3 \subset \mathbb{R}^3$  и  $e_4 = e_1 + e_2 + e_3$ .

Любые 3 вектора из набора  $E$  образуют базис в  $\mathbb{Z}^3$ .

## Следствие

Для любого простого трехмерного многогранника  $P$  функция

$$\ell: \{F_1, \dots, F_m\} \rightarrow \mathbb{Z}^3$$

такая, что  $\ell(F_i) = e_{\varphi(F_i)}$ , является характеристическим отображением многогранника  $P$ .

## Теорема

Любой простой трехмерный многогранник  $P$  имеет характеристическую функцию, и, следовательно, у него имеется квазиторическое шестимерное многообразие  $M^6 = M(P, \Lambda)$ .

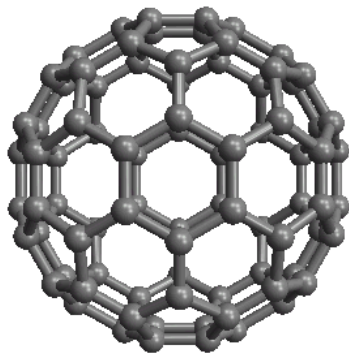
## Задача

Докажите, что в любом наборе  $\{e_1, \dots, e_5\} \subset \mathbb{Z}^3$  существуют три вектора  $e_{i_1}, e_{i_2}, e_{i_3}$ , которые *не образуют* базис в  $\mathbb{Z}^3$ .

**Фуллереном** называется молекула углерода, которая топологически имеет форму сферы и каждый атом которой принадлежит ровно трём углеродным кольцам, состоящим из пяти и шести атомов.



Фуллерен  $C_{60}$



Фуллерен  $C_{80}$

Бакминстерфуллерен  $C_{60}$  был открыт химиками-теоретиками Робертом Кёрлом, Гарольдом Крото и Ричардом Смолли в 1985 (Нобелевская премия 1996 года по химии «за открытие фуллеренов»).

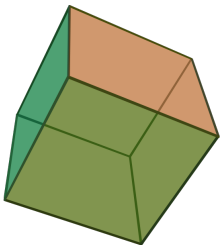


Биосфера Фуллера  
Павильон США, Экспо-67  
Монреаль, Канада

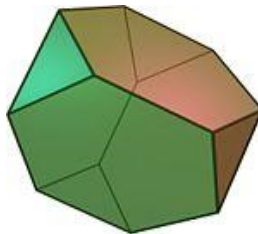
Фуллерены были названы в честь Ричарда Бакминстера Фуллера (1895-1983) — известного американского архитектора и философа. В 1954 году он запатентовал архитектурную конструкцию в форме многогранного купола для перекрытия больших площадей.

## Определение

Простой многогранник называется **флаговым**, если любой его набор попарно пересекающихся гиперграней  $F_{i_1}, \dots, F_{i_k}$ :  $F_{i_s} \cap F_{i_t} \neq \emptyset$ ,  $s, t = 1, \dots, k$ , имеет непустое пересечение  $F_{i_1} \cap \dots \cap F_{i_k} \neq \emptyset$ .



Флаговый многогранник



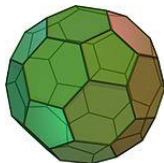
Нефлаговый многогранник

## Определение

(Математическим) фуллереном называется простой трёхмерный многогранник, у которого все двумерные грани являются пятиугольниками или шестиугольниками.



Фуллерен  $C_{60}$



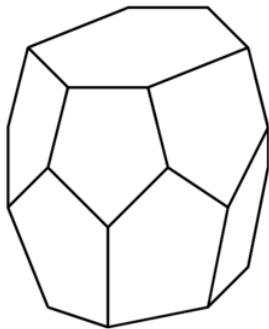
Усечённый икосаэдр

Для любого фуллерена  $p_5 = 12$ ,

$$f_0 = 2(10 + p_6), \quad f_1 = 3(10 + p_6), \quad f_2 = (10 + p_6) + 2$$

Существуют фуллерены с любым значением  $p_6 \neq 1$ .

# Диаграммы Шлегеля фуллеренов



Фуллерен «бочка»

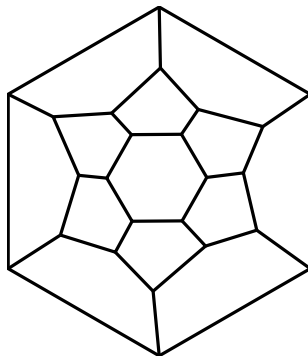
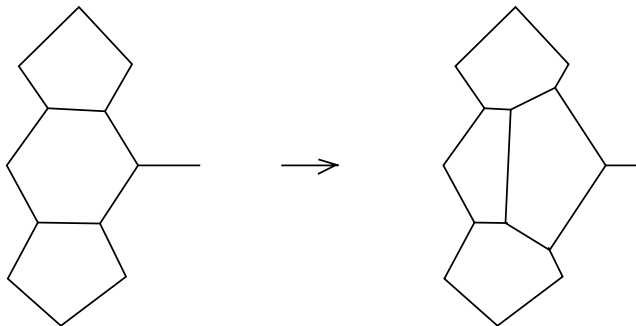
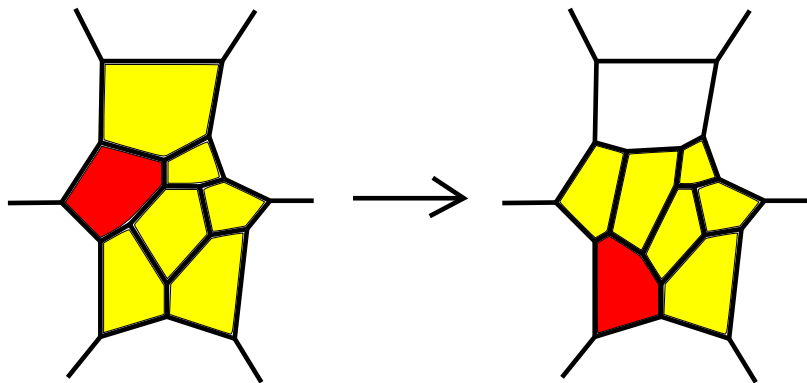


Диаграмма Шлегеля «бочки»

# Операция Эндо-Крото



- Операция Эндо-Крото увеличивает число  $p_6$  на 1.



- Операция Эндо-Крото превращает фрагмент слева во фрагмент с такой же границей, состоящий из предыдущего фрагмента и дополнительного (белого) шестиугольника.

# Число комбинаторных типов фуллеренов

Комбинаторно неэквивалентные фуллерены с одинаковым числом  $p_6$  называются **комбинаторными изомерами**.

Пусть  $F(p_6)$  – число комбинаторных изомеров с данным  $p_6$ . Известно, что  $F(p_6) = O(p_6^9)$ .

Имеется эффективный алгоритм перечисления комбинаторных типов фуллеренов при помощи суперкомпьютера (Бринкман, Дресс, 1997).

Следующая информация взята из источника  
House of Graphs, Fullerenes (<http://hog.grinvin.org/Fullerenes>)

$p_6$	0	1	2	3	4	5	6	7	8	...	75
$F(p_6)$	1	0	1	1	2	3	6	6	15	...	46.088.157

## Определение

**IPR-фуллереном** (Isolated Pentagon Rule) называется фуллерен, у которого нет смежных пятиугольников.

- Пусть  $P$  – IPR-фуллерен. Тогда  $p_6 \geq 20$ .
- IPR-фуллерен с  $p_6 = 20$  комбинаторно эквивалентен бакминстерфуллерену  $C_{60}$ .

Число  $F_{IPR}(p_6)$  комбинаторных изомеров IPR-фуллеренов как функция от  $p_6$ .

$p_6$	20	21	22	23	24	25	26	27	28	...	97
$F_{IPR}$	1	0	0	0	0	1	1	1	2	...	36.173.081

## Гипотеза (Бринкман, Дресс)

Функции  $F(p_6)$  и  $F_{IPR}(p_6 + 24)$  в некотором смысле являются хорошими асимптотическими приближениями друг друга.

$p_6$	0	1	2	3	4	5	6	7	8	...	73
$F(p_6)$	1	0	1	1	2	3	6	6	15	...	36.798.433
$F_{IPR}(p_6 + 24)$	0	1	1	1	2	5	7	9	24	...	36.173.081

## Теорема

- Каждому фуллерену  $P$  соответствует момент-угол многообразие  $\mathcal{Z}_P$  размерности  $(15 + P_6)$  с действием стандартного тора  $\mathbb{T}^N$ , где  $N = 12 + P_6$ .
- Каждой раскраске  $\Lambda$  карты  $\partial P$ , где  $P$  – фуллерен, соответствует шестимерное квазиторическое многообразие  $M(P, \Lambda)$ .

- Комбинаторные свойства многогранников, отличающие фуллерен от произвольного трехмерного многогранника;
- Алгебраические и алгебротопологические методы описания комбинаторики многогранников;
- Результаты, дающие алгебротопологические критерии комбинаторной эквивалентности фуллеренов;
- Результаты, дающие алгебротопологические критерии диффеоморфности гладких односвязных шестимерных многообразий.